

МИНИСТЕРСТВО ВЫСШЕГО И СРЕДНЕГО СПЕЦИАЛЬНОГО
ОБРАЗОВАНИЯ СССР

Редколлегия журнала "Известия высших учебных
заведений", раздел «Геология и разведка»

№ 1948-81 Деп

М.И.Юдин, Е.В.Казанцева

ВЫЧИСЛЕНИЕ КОЭФФИЦИЕНТОВ РАЗНОСТНОЙ СХЕМЫ НА ОСНОВЕ
ВАРИАЦИОННОГО ПОДХОДА ПРИ РЕШЕНИИ ПРЯМОЙ ЗАДАЧИ МТЗ
МЕТОДОМ СЕТОК В ДВУМЕРНОЙ СРЕДЕ

Москва, 1981

Решение задач геоэлектрики методом конечных разностей применительно к неоднородным средам требует использования неравномерных шагов сетки. В связи с этим большое значение имеет правильный выбор коэффициентов разностной схемы для получения результатов с требуемой точностью. Численные эксперименты свидетельствуют о том, что конечно-разностная аппроксимация дифференциальной задачи для случая Е-поляризации на сетке с неравномерными шагами иногда приводит к значительным погрешностям в решении и существенно замедляет сходимость итерационного процесса. Известны случаи, когда решение одномерной задачи по программе [4] с грубо неравномерной сеткой требовало более 1000 итераций.

Рассмотрим вариационный метод получения коэффициентов разностной схемы и сравним их с коэффициентами, получаемыми при конечно-разностной аппроксимации исходной дифференциальной задачи.

Пусть прямоугольной области

$$\bar{D} = \{(y, z) \in R^2 \mid y_1 \leq y \leq y_2, z_1 \leq z \leq z_2\}$$

соответствует среда с кусочно-постоянной проводимостью и постоянной магнитной проницаемостью $\mu = \mu_0$. Свойства среды по направлению оси x остаются постоянными.

1. Е-поляризация.

На границу раздела земля-воздух ($z = 0$) падает плоская однородная монохроматическая волна, вектор электрического поля которой имеет одну ненулевую компоненту E_x , изменяющуюся во времени по закону $e^{-i\omega t}$. Применительно к Е-поляризации поведение компоненты E_x в двумерной горизонтально-неоднородной среде описывается уравнением Гельмгольца:

$$\Delta E_x = k^2 E_x \quad (1)$$

где $k^2 = -i\omega\mu\sigma$ – волновое число, ω – круговая частота.

На границе Γ области ω , как правило, задаются асимптотические краевые условия.

При вариационном подходе решение задачи (1) сводится к поиску экстремума функционала \mathcal{L} [6]:

$$\mathcal{L} = \operatorname{Re} \frac{1}{-i\omega\mu} \iint_D \left[\frac{1}{2} \left(\frac{\partial^2 E_x}{\partial y^2} \right)^2 + \frac{1}{2} \left(\frac{\partial^2 E_x}{\partial z^2} \right)^2 + \frac{k^2}{2} E_x^2 \right] dydz \quad (2)$$

для которого уравнение (1) является уравнением Эйлера. Введем обозначение:

$$E_x := u + iv,$$

тогда (2) примет вид:

$$\mathcal{L} = \frac{1}{\omega\mu} \iint_D \left[-\frac{\partial u}{\partial y} \frac{\partial v}{\partial y} - \frac{\partial u}{\partial z} \frac{\partial v}{\partial z} + \frac{k^2}{2} (u^2 - v^2) \right] dydz \quad (3)$$

Воспользуемся алгоритмом получения коэффициентов разностной схемы, предложенным в работе [2] применительно к уравнению диффузии. Будем считать, что проводимость каждой ячейки сетки постоянна, и рассмотрим фрагмент сетки, изображенный на рис. 1. Опуская очевидные промежуточные выкладки, для подобласти D_1 получим аппроксимацию I_1 функционала (3):

$$\begin{aligned} I_1 = & -\frac{d_1}{2\omega\mu h_1} \left[(u_0 - u_3)(v_0 - v_3) + (u_2 - u_6)(v_2 - v_6) \right] - \\ & -\frac{h_1}{2\omega\mu d_1} \left[(u_0 - u_2)(v_0 - v_2) + (u_3 - u_6)(v_3 - v_6) \right] + \\ & + \frac{\sigma_1}{8} d_1 h_1 (u_0^2 + u_2^2 + u_3^2 + u_6^2 - v_0^2 - v_2^2 - v_3^2 - v_6^2), \end{aligned}$$

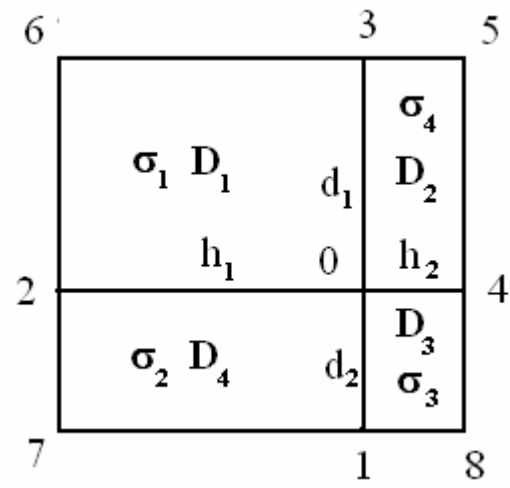


Рис. 1. Фрагмент сетки

где h_1, h_2 - шаги сетки по оси y ; d_1, d_2 - шаги сетки по оси z , примыкающие к точке Q ; u_i, v_i - значения функций $u(y, z)$ и $v(y, z)$ в i -том узле ($i=0, \dots, 8$, см. рис 1). Выражения, аналогичные (4), получим для подобластей D_2, D_3 и D_4 . Просуммируем их, найдем производную по u_0 и приравняем ее нулю. После преобразований получим:

$$a_0 v_0 - \bar{k}^2 u_0 = \sum_{i=1}^4 a_i v_i, \quad (5)$$

где

$$\begin{aligned} a_0 &= \frac{2}{h_1 h_2} + \frac{2}{d_1 d_2}, \quad a_1 = \frac{2}{h_2 (h_1 + h_2)}; \\ a_2 &= \frac{2}{d_1 (d_1 + d_2)}; \quad a_3 = \frac{2}{h_1 (h_1 + h_2)}; \quad a_4 = \frac{2}{d_2 (d_1 + d_2)}; \\ \bar{k}^2 &= (k_1^2 h_1 d_2 + k_2^2 h_1 d_2 + k_3^2 h_2 d_2 + k_4^2 h_2 d_1) / S, \quad (6) \\ S &= (h_1 + h_2)(d_1 + d_2). \end{aligned}$$

Еще одно уравнение, аналогичное (5), легко получить из условия равенства нулю производной по v_0 от суммы выражений типа (4).

Таким образом, коэффициенты разностной схемы получаются такими же, как и в работе [7] за исключением коэффициента \bar{k}^2 при u_0 (или v_0), который учитывает структуру и проводимости ячеек сетки, окружающих точку 0 . В качестве проводимости отнесенной к этому фиксированному узлу сетки берется средняя продольная проводимость прилегающих к нему ячеек. Следует заметить, что, исходя из физических соображений, средневзвешенные значения волновых чисел (б) успешно используются нами в программах с автоматической дискретизацией области D и проектировании на сформированную сетку заданной модели геоэлектрического разреза.

2. Н-поляризация

В соответствии с работой [6] для случая Н-поляризации функционал \mathcal{L} вид:

$$\mathcal{L} = \text{Re} \frac{1}{-i\omega\mu} \iint_D \left[\frac{1}{2} \left(\frac{\partial^2 E_x}{\partial y^2} \right)^2 + \frac{1}{2} \left(\frac{\partial^2 E_x}{\partial z^2} \right)^2 + \frac{k^2}{2} E_x^2 \right] dydz \quad (7)$$

Полагая

$$H_x := u + iv,$$

найдем:

$$\mathcal{L} = \iint_D \left[\frac{1}{2\sigma} \left[\left(\frac{\partial u}{\partial y} \right)^2 - \left(\frac{\partial v}{\partial y} \right)^2 + \left(\frac{\partial u}{\partial z} \right)^2 - \left(\frac{\partial v}{\partial z} \right)^2 \right] + uv\omega\mu \right] dydz. \quad (8)$$

Применительно к фрагменту сетки, изображенному на рис. 1, получаем приближенное значение I_1 функционала \mathcal{L} для подобласти D_1 :

$$\begin{aligned} I_1 = \frac{d_1 h_1}{4\sigma_1} & \left\{ \left[\frac{(u_0 - u_2)^2}{d_1^2} + \frac{(u_3 - u_6)^2}{d_1^2} + \frac{(u_0 - u_3)^2}{h_1^2} + \frac{(u_2 - u_6)^2}{h_1^2} \right] - \right. \\ & \left[\frac{(v_0 - v_2)^2}{d_1^2} + \frac{(v_3 - v_6)^2}{d_1^2} + \frac{(v_0 - v_3)^2}{h_1^2} + \frac{(v_2 - v_6)^2}{h_1^2} \right] \left. \right\} + \\ & + \frac{\omega\mu}{4} d_1 h_1 \left[u_0 v_0 + u_2 v_2 + u_3 v_3 + u_6 v_6 \right] \end{aligned} \quad (9)$$

Легко найти аналогичные выражения для подобластей D_2 , D_3 , и D_4 . Сложим выражения типа (9), найдем производные по u_0 и v_0 и приравняем их к нулю. После преобразований получим

$$-b_0 u_0 + a_0 v_0 - \bar{k}^2 = \sum_{i=1}^4 a_i v_i,$$

$$b_0 v_0 + a_0 u_0 = \sum_{i=1}^4 a_i u_i,$$

где

$$b_0 = \frac{\omega\mu}{4}(h_1 + h_2)(d_1 + d_2),$$

$$\begin{aligned} a_1 &= \frac{T_{2z}}{h_2}, & a_2 &= \frac{T_{2y}}{d_1}, \\ a_3 &= \frac{T_{1z}}{h_1}, & a_4 &= \frac{T_{2y}}{d_2}; \end{aligned} \quad (11)$$

$$a_0 = a_1 + a_2 + a_3 + a_4.$$

Таким образом, коэффициенты системы разностных уравнений являются средние поперечные сопротивления среды по осям и с весовыми множителями, учитывающими толщину слоя в направлении течения электрического тока. Величина b_0 не зависит от свойств среды, так как мы положили $\mu = const$. Соотношения (II) отличаются от коэффициентов, получаемых по методу конечных разностей [5]. Они учитывают размеры ячеек неравномерной сетки, имеют простую физическую интерпретацию и более удобны в вычислительном отношении. При разработке программ с автоматическим выбором размеров области и шагов сетки возникает проблема присвоения ячейке сетки некоторого усредненного сопротивления, если эту ячейку пересекает граница раздела сред с различными электрическими свойствами. Ответ на этот вопрос дают полученные результаты: неоднородной по проводимости ячейке сетки нужно приписать такое постоянное сопротивление, чтобы поперечные сопротивления по координатным осям остались без изменения.

Перейдем к анализу результатов расчетов по программе [4] с коэффициентами разностной схемы в соответствии с [6] и коэффициентами (6) применительно к двум моделям среды.

I. Одномерная модель.

Трёхслойная горизонтально-слоистая среда с параметрами $\rho_2/\rho_1=10^4$, $h_2/h_1=20$, $\rho_3/\rho_1=0.5$ где h_1 , h_2 - мощности (первого и второго слоев, ρ_1, ρ_2, ρ_3 - удельные сопротивления первого, второго и третьего слоев соответственно. Шаги сетки по горизонтальному и вертикальному направлениям неравномерны.

Пусть $\lambda_1 = \sqrt{10^7 \rho_1 T}$ - длина волны в первом слое (T - период колебаний). При значении λ_1/h_1 равном 8, значение ρ_T/ρ_1 совпадает с кажущимся сопротивлением, рассчитанным по аналитическому выражению [1], в то время как величина ρ_T/ρ_1 , полученная с использованием разностной аппроксимации, даёт ошибку 11,3%. Результаты расчётов приведены в таблице I. На рис. 2 показано поведение компонент поля по профилю на поверхности земли. Число итераций для различных соотношений λ_1/h_1 приведено в таблице 2, из которой видно, что итерационный процесс завершается значительно быстрее при использовании разностной схемы с коэффициентами, полученными на основе вариационного метода.

2. Двумерная модель.

При опробовании обсуждаемого метода на модели горста [3] с параметрами $\rho_2/\rho_1=10^4$, $\rho_3/\rho_1=0.5$, $h_3/h_1=0.2$, $l/h_1=4$ с неравномерной сеткой, точность результатов по сравнению с разностным методом аппроксимации повышается на 15%, при этом количество итераций уменьшается в 5 раз при $\lambda_1/h_1=31$ и в 2 раза при $\lambda_1/h_1=10$. При использовании равномерной сетки результаты расчётов для обоих методов аппроксимации совпадают.

Таблица I

λ_1/h_1	ρ_T/ρ_1		
	Аналитическое решение	Вариационный метод	Конечные разности
4	0.846	0.849	0.800
5.7	0.790	0.791	0.782
8	1.046	1.046	6.927
11.3	1.799	1.8	1.661
16	3.370	3.371	2.707
22.6	6.138	6.138	5.784
32	9.581	9.581	9.350
45.2	10.895	10.890	10.720

Таблица.2

λ_1/h_1	45.2	32	22.6	16	11.3	8	5,7	4
конечные разности	48	40	247	>1000	>1000	>1000	>1000	972
Вариационный метод	48	40	41	23	23	24	22	38

Результаты численных экспериментов свидетельствуют о целесообразности использования вариационного подхода к построению коэффициентов системы разностных уравнений, так как он обеспечивает более быструю сходимость итерационного процесса и повышает точность расчета компонент электромагнитного поля.

ЛИТЕРАТУРА

1. Бердичевский М.Н. "Электрическая разведка методом магнито-нурического профилирования", М., "Недра", 1968, 255 с. с илл.
2. Вазов В., Форсайт Дж. "Разностные методы решения дифференциальных уравнений в частных производных", М., "Иностранная литература", 1963, 487 с.
3. Дмитриев В.И., Кокотушкин Г.А. "Альбом палеток для магнито-теллурического зондирования в неоднородных средах", Изд-во МГУ, 1971 г., 68 с.
4. Юдин М.Н., Казанцева Е.В. Электроразведка. Программа расчета магнитотеллурического поля в двумерных слоистых средах, содержащих локальные неоднородности (Е и Н-поляризация), Изд-во ВНИИГеофизики, М., 1977г., 36 с.
5. Jones F.V., Pascoe L. J. A general computer program to determine the perturbation of alternating electric currents in a two-dimensional model of a region of uniform conductivity with embedded inhomogeneity. Geophys. J.R. astr, Soc., v.24, 1971, pp. 3-30.
6. Rodi W.L. A technique for improving the accuracy of finite element solutions for magnetotelluric data. Geophys.J.R. Astr. Soc., v. 44, 1976, pp. 483-506.
7. Williamson K., Hewlett C., Tammemagi H. J. Computer modeling of electrical conductivity structures. J.B. Astr. Soc., v. 37, pp. 533-536.

Печатается в соответствии с решением редколлегии
журнала "Известия высших учебных заведений",
раздел "Геология и разведка".

сдт 12.02.81

В печать 2.4.81.

Тир.1

Цена 96 коп

Зак. 32792

Производственно издательский комбинат ВИНТИ
Люберцы, Октябрьский пр., 403
